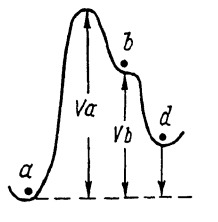


Рис. 3. Динамика изменения потенциальной энергии системы во время записи.



(скрытое изображение), из которого через некоторое время система релаксирует в состояние α' , которое является более устойчивым, чем состояние b , но менее устойчивое, чем состояние α . При повышении

температуры выше критической (230 К) метастабильные состояния и барьер V_b исчезают, а состояние α' опускается до уровня α .

На языке энергетических термов описанный процесс выглядит следующим образом. Разрыв химсвязи в α - δ ведет к одновременному появлению локальных уровней, находящихся в метастабильном состоянии. Из-за взаимодействия с фононной подсистемой локальные уровни сдвигаются, вследствие чего возможно дополнительное поглощение. Косвенным подтверждением этому могут служить проведенные нами ранее временные изменения фононных спектров, отражающие фононный ангармонизм решетки.

Список литературы

- [1] Сазонов А.И., Календарев Р.И. // Изв. АН Латв. ССР. 1983. № 3. С. 35-40.
- [2] Чикваидзе Г.В., Локшин Б.В., Эйдус Я.А. // Изв. АН Латв. ССР. 1986. № 3. С. 29-34.
- [3] Luty T., Pawley G.S. // Phys. Stat. Sol. 1975. V. 69B, N 2. P. 551-555.

Львовский государственный
университет им. И. Франко

Поступило в Редакцию
2 июня 1988 г.
В окончательной редакции
12 декабря 1988 г.

Письма в ЖТФ, том 15, вып. 15 12 августа 1989 г.
01; 12

ГИРОСКОПИЧЕСКИЙ ЭФФЕКТ
В СИСТЕМЕ КОЛЬЦЕВЫХ ПРОВОДНИКОВ
С ЭЛЕКТРИЧЕСКИМ ТОКОМ

В.Ф. Фатеев

Как известно, взаимное время запаздывания двух электромагнитных волн, распространяющихся встречно в кольцевом вращающем-

ся контуре, определяется угловой скоростью $\vec{\Omega}$ и площадью этого контура S [1]:

$$\tilde{\tau}_{\Omega} = \frac{4\vec{\Omega} \vec{S}}{c^2}. \quad (1)$$

Впервые этот эффект был измерен Саньяком в 1913 г. по взаимному фазовому смещению световых волн с частотой ω , обегающих плоский контур в противоположных направлениях:

$$\varphi_{\Omega} = \tilde{\tau}_{\Omega} \omega. \quad (2)$$

Впоследствии гироскопический эффект Саньяка был более точно измерен с помощью лазеров и нашел многочисленные технические применения (см., например, [2, 3]). Берштейном [4] этот эффект измерен на радиоволнах, причем, как и в опыте Саньяка, измеряемым параметром была разность фаз встречных волн.

Естественно предположить, что гироскопический эффект существует и на полях с нулевой частотой, т.е. в проводниках с постоянным током. Поскольку фазовые измерения здесь уже невозможны, определим 4-вектор плотности электрического тока в проводнике, который движется относительно вращающейся системы отсчета с некоторой скоростью \vec{V} . Для решения задачи воспользуемся системой тензорных уравнений Максвелла и материальных соотношений для электромагнитного поля в проводящей среде, движущейся в инерциальной системе отсчета [5]. Из всей системы далее нас будет интересовать лишь соотношение для 4-вектора плотности тока:

$$j_i = \frac{\sigma}{c} F_{ik} u_k; \quad i, k = 0, 1, 2, 3, \quad (3)$$

где σ – проводимость среды, F_{ik} – тензор электромагнитного поля, u_k – 4-вектор скорости среды.

Переходя к произвольной неинерциальной системе отсчета на основе метрического тензора g^{il} , контравариантные компоненты 4-вектора плотности тока определим в виде:

$$j^i = \frac{\sigma}{c} g^{il} F_{lm} u^m. \quad (4)$$

Рассмотрим случай медленно вращающейся системы отсчета, для которой ненулевые компоненты метрического тензора в первом порядке по $\frac{\Omega R}{c}$ определяются соотношением [1]:

$$-g_{00} = g_{\alpha\alpha} = 1; \quad g_{0\alpha} = \frac{1}{c} [\vec{\Omega} \vec{R}]; \quad \dot{g} = \frac{1}{c} [\vec{\Omega} \vec{R}], \quad \alpha = 1, 2, 3. \quad (5)$$

Компоненты тензора F_{ik} представим в том же приближении в виде [1]: $F_{\alpha} = F_{0\alpha}$, $CB^{\alpha} = -\frac{1}{2} \rho^{\alpha\beta\gamma} F_{\beta\gamma}$ (при этом уравнения

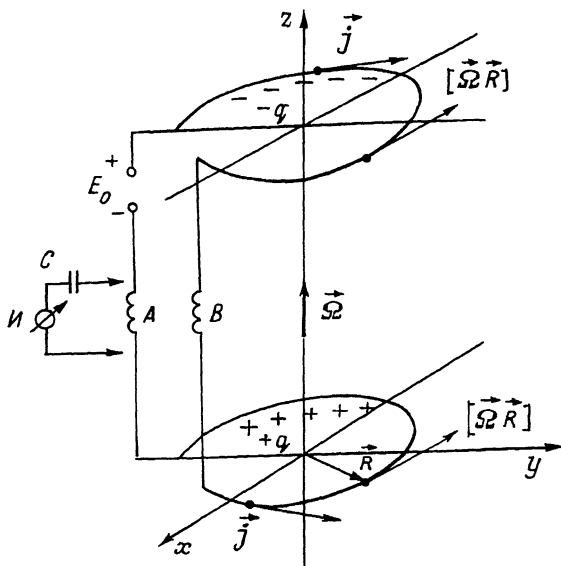


Схема устройства для измерения гироскопического эффекта в проводнике с током.

Максвелла сохраняют традиционную форму). Определяя, наконец, компоненты 4-вектора скорости среды как $\dot{u} = 1$, $u^\alpha = \frac{v^\alpha}{c}$, из соотношения (4) в отсутствие внешнего магнитного поля ($\vec{B} = 0$) получаем выражение для плотности заряда, наведенного в проводнике:

$$\rho_H = \frac{1}{c^2} (\vec{V} + [\vec{\Omega} \vec{R}]) \vec{j}. \quad (6)$$

При $\vec{\Omega} = 0$ из этой формулы следует классический результат, получаемый в рамках специальной теории относительности [5]. Вместе с тем, отсюда следует, что во вращающейся системе даже в отсутствие относительного движения наблюдателя и проводника с током ($\vec{V} = 0$) возникает поляризация зарядов в проводнике, пропорциональная угловой скорости $\vec{\Omega}$.

Проводник, с помощью которого можно измерить обнаруженный эффект, должен содержать две неподвижных соосных кольцевых части (шлейфа) с противоположной намоткой (см. рисунок). При этом та кольцевая часть проводника, где направления векторов \vec{j} и $[\vec{\Omega} \vec{R}]$ совпадают, приобретает положительный заряд, другая — отрицательный. Поскольку полный заряд в проводнике $q = \int_L \rho_H dl$ (L — длина проводника в шлейфе), то разность зарядов между шлейфами

$$\Delta q = q_1 - q_2 = \tau_{\vec{\Omega}} \vec{j}. \quad (7)$$

Так как масштабные коэффициенты в формулах (2) и (7) совпадают, то гироскопический эффект (7) обладает всеми основными свойствами эффекта Саньяка: он не зависит от конфигурации кольцевого контура и от расстояния от центра вращения. Поэтому рассмотренный гироскопический эффект является гальваническим аналогом эффекта Саньяка. Интересно отметить, что левые части формул (2) и (7) не зависят от выбора системы отсчета, а величины ω и j есть их производные по времени.

Измерение эффекта (7) наиболее просто выполнить при угловых вибрационных движениях вида $\Omega = \Omega_b \cos 2\pi f_b t$, где f_b , Ω_b — частота и амплитуда угловой скорости вибрации. Ток перезаряда шлейфов составит:

$$i_{\Omega} = \frac{d(Aq)}{dt} = \frac{8\pi\Omega_b f_b S}{c^2} j \sin 2\pi f_b t. \quad (8)$$

Этот слабый переменный ток можно измерить электрометрическим усилителем U , включаемым через емкость C параллельно низкочастотным дросселям A или B . При $\Omega_b = 10 \text{ с}^{-1}$, $f_b = 100 \text{ Гц}$, $j = 1 \text{ A}$, $S = 1 \text{ м}^2$ (это нетрудно получить при многовитковой намотке) имеем $i_{\Omega \max} = 2.4 \cdot 10^{-13} \text{ A}$. Это значительно выше уровня чувствительности современных электрометрических усилителей, достигающей $5 \cdot 10^{-16} - 3 \cdot 10^{-17} \text{ A}$ [6]. Рассматриваемый эффект можно существенно увеличить при использовании сверхпроводящих проводников.

Автор благодарит О.В. Константинова и Ю.А. Яппу за полезное обсуждение результатов работы.

Список литературы

- [1] Ландау Л.Д., Лифшиц Е.М. Теория поля. М.: Наука. 1967. 460 с.
- [2] Бычков С.И., Лукьянин Д.П., Бакалляр А.И. Лазерный гироскоп. М.: Сов. радио, 1975. 424 с.
- [3] Савельев А.М., Соловьева Т.И. // Зарубежная радиоэлектроника. 1982. № 6. С. 55-66.
- [4] Берштейн И.Л. // ДАН СССР. 1950. Т. 75. № 5. С. 635-639.
- [5] Угаров В.А. Специальная теория относительности. М.: Наука, 1977. 384 с.
- [6] Горощков Б.И. Радиоэлектронные устройства: Справочник. М.: Радио и связь, 1985. 400 с.

Поступило в Редакцию
15 марта 1989 г.